Эндогенная серия

Гидротермальная группа

Гидротермальные месторождения представляют собой промышленные минеральные скопления, созданные циркулирующими под поверхностью Земли, горячими, обогащёнными полезными компонентами газовожидкими растворами.

Региональное геологическое положение МПИ:

- 1. Складчатые области средней и поздней стадии развития:
- андезито-дацитовая формация;
- гранодиоритовая формация;
- формация малых интрузий гранитоидов.
- 2. Реже на докембрийских платформах:
- в осадочном чехле платформ с карбонатными и пестроцветными формациями;
- в кристаллическом фундаменте платформ.

Строение гидротермальных месторождений

1. МПИ связаны с плутонами гранодиоритов, либо дайками гранитов. В первом случае густая сеть жил формирует штокверк, как в интрузии, так и во вмещающих породах. Во втором случае образуется система лестничных жил.

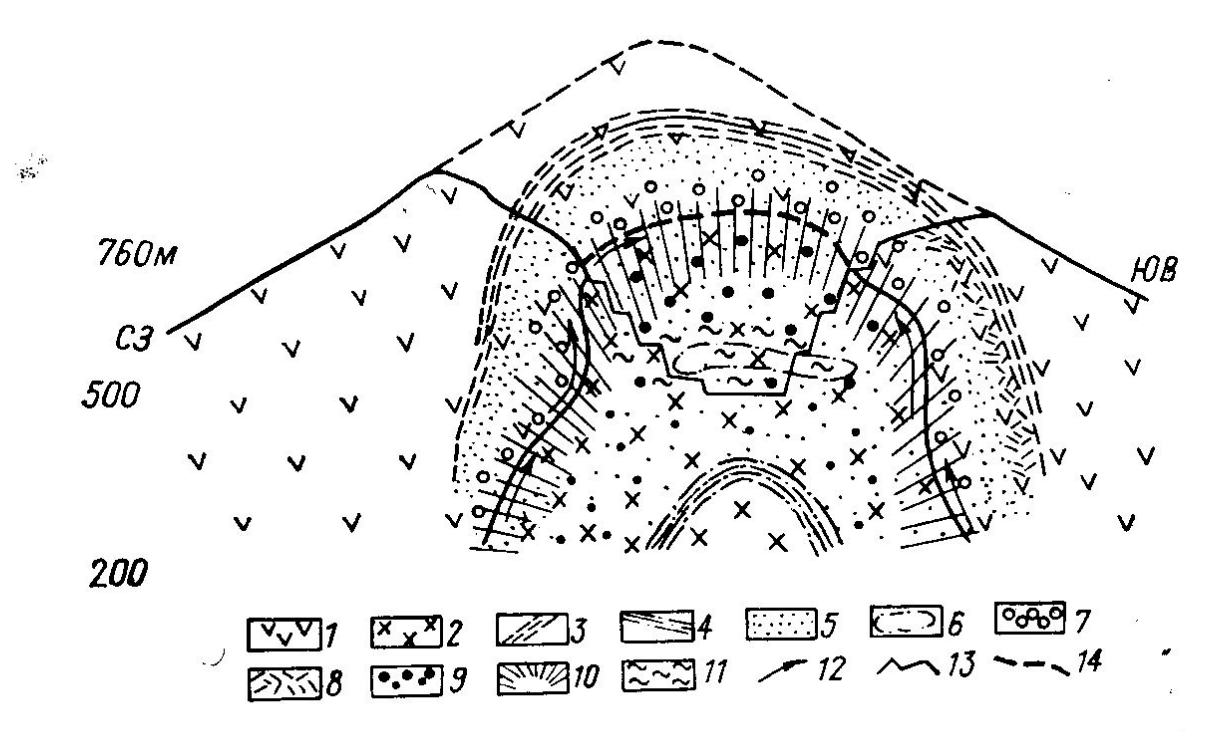


Рис. 80. Схематический геологический разрез месторождения Коупрад (ве масштаб разреза увеличен против горизонтального). По И. М. Юдину.

жинаритовые порфиры; 2 — гранодиорит-порфиры; метасоматические породы: 3 — пропилиты и пропилитизированные, 4 — аргиллизированные, 5 — кварц-серицитовые, 6 — кварц-каолиновые, 7 — кварц-андалузитовые, 8 — диаспор-пирофилитовые; области преимущественного проявления первичного оруденения: 9 — медного (разной интенсивности), 10 — молибдено-мышьякового, 11 — галенито-сфалеритового; 12 — основное направление движения гидротермальных растворов; 13 — современный контур поверхности месторождения с карьером; 14 — предполагаемый контур штока гранодиорит-порфиров и горы Северный Коунрад до начала эрозии рудного тела.

2. МПИ связаны с наземными вулканами. Рудные тела располагаются как в жерле вулкана, так и на склонах и имеют форму штокверков, жил, линз.

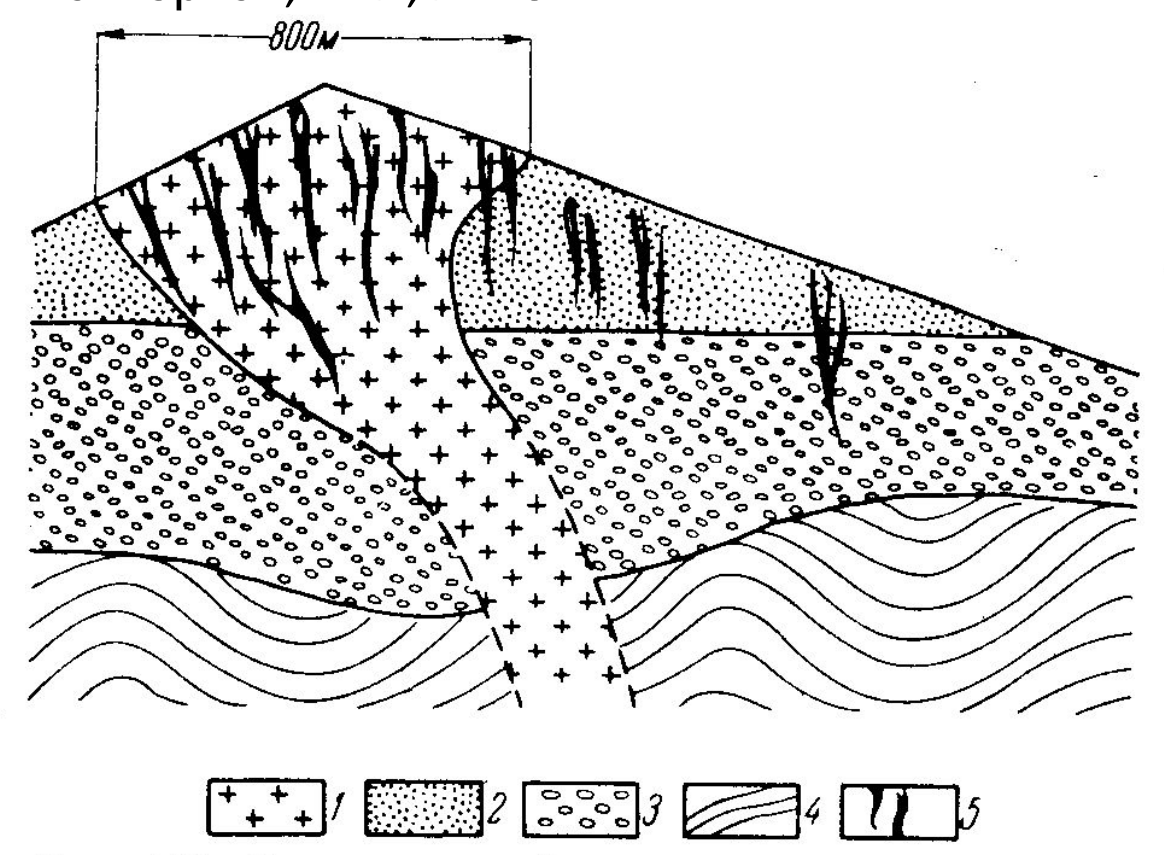


Рис. 163. Схематический разрез месторождения Потози в Боливии. По Эвансу

1 — шток кварцевого порфира; 2 — третичные песчаники и туфы; 3 — третичные конгломераты; 4 — силурийские сланцы и кварциты; 5 — рудные жилы

3. МПИ не имеют видимой связи с магматическими породами и вулканами. Рудные тела эпигенетичные по отношению к вмещающим породам в форме жил, пластообразных залежей.

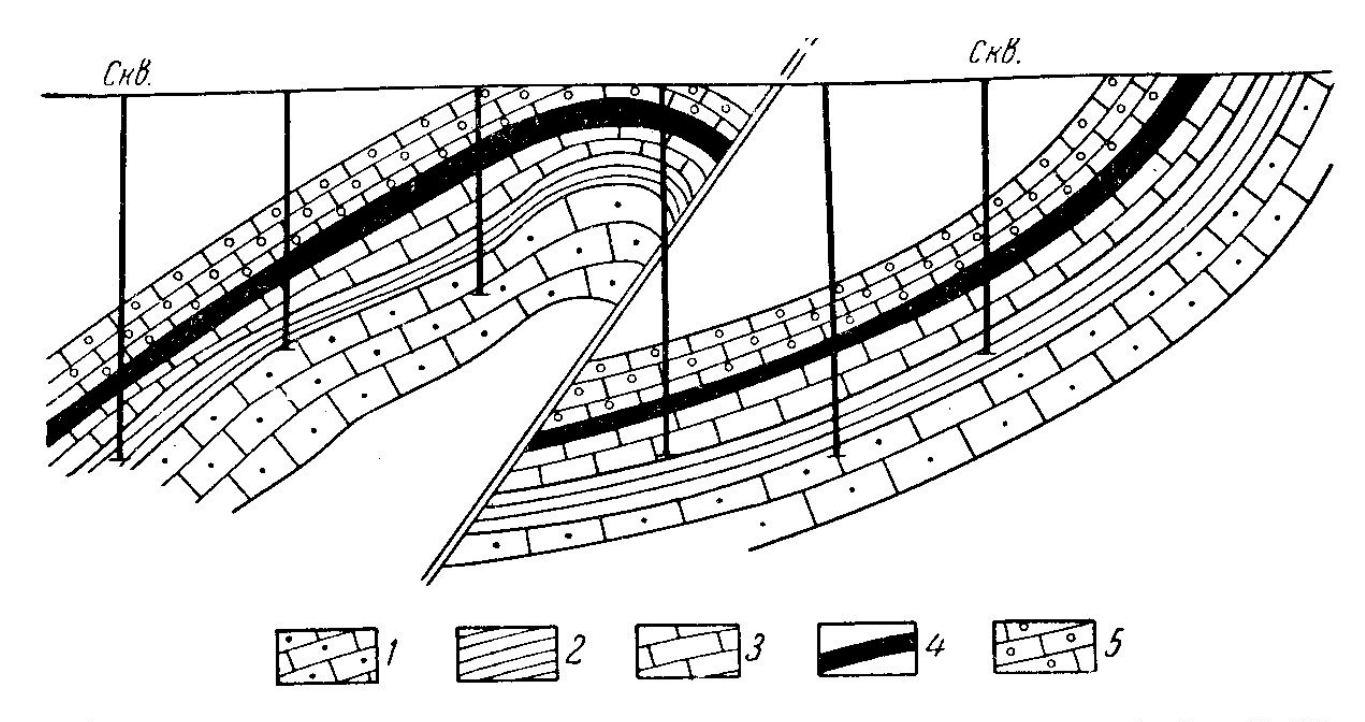


Рис. 157. Поперечный разрез телетермального месторождения свинцово-цинковых руд хр. Каратау в Казахстане

1 — известняки нижнего комковатого горизонта; 2 — известняки нижнего ленточного горизонта; 3 — известняки ячеистого горизонта; 4 — руда в известняках второго ленточного горизонта; 5 — известняки среднего комковатого горизонта

Гидротермальные изменения вмещающих пород

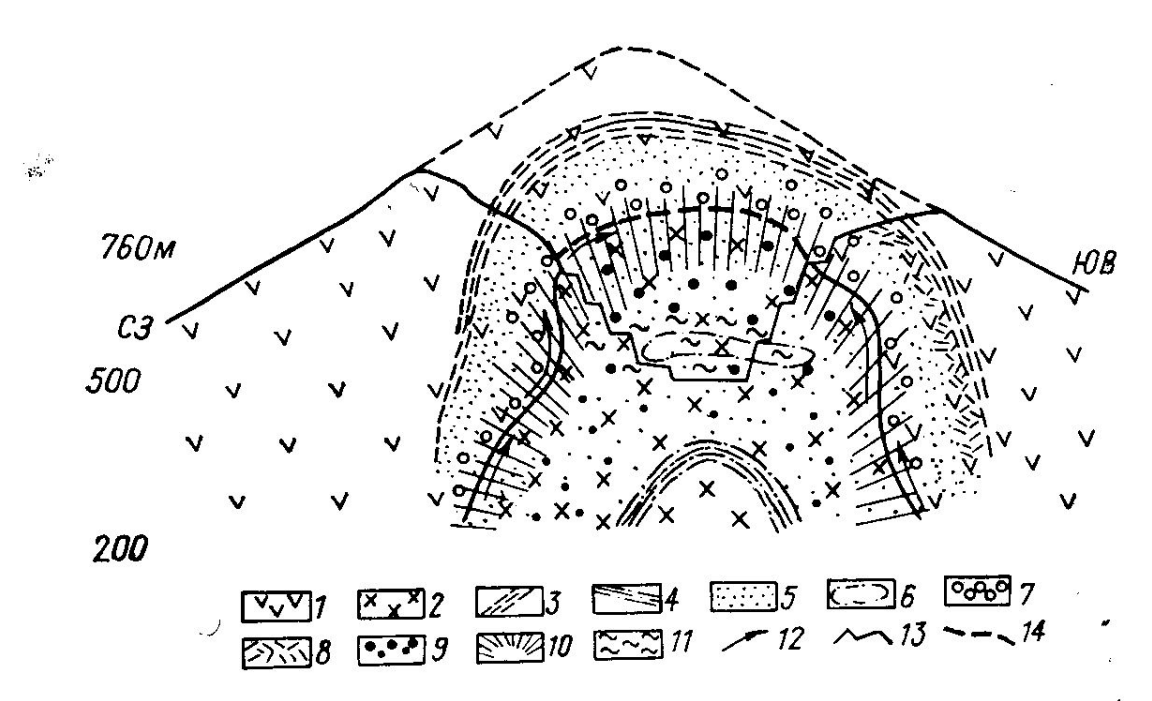


Рис. 80. Схематический геологический разрез месторождения Коунрад (ве масштаб разреза увеличен против горизонтального). По И. М. Юдину.

у — липаритовые порфиры; 2 — гранодиорит-порфиры; метасоматические породы: 3 — пропилиты и пропилитизированные, 4 — аргиллизированные, 5 — кварц-серицитовые, 6 — кварц-каолиновые, 7 — кварц-андалузитовые, 8 — диаспор-пирофилитовые; области преимущественного проявления первичного оруденения: 9 — медного (разной интенсивности), 10 — молибдено-мышьякового, 11 — галенито-сфалеритового; 12 — основное направление движения гидротермальных растворов; 13 — современный контур поверхности месторождения с карьером; 14 — предполагаемый контур штока гранодиорит-порфиров и горы Северный Коунрад до начала эрозии рудного тела.

Классификация гидротермальных месторождений

- **В. Лингрен (1907 г.)** по температурам и глубине образования три класса: 1) гипотермальный большие глубины, высокие давления и 500-300 ⁰ C;
 - 2) мезотермальный средние параметры и 300-200 °C;
 - 3) эпитермальный небольшие глубины и 200-50 ° C;

П.М. Татаринов, И.Г. Магакьян выделили два класса:

- 1) умеренных и больших глубин (более1 км);
- 2) Малых глубин и приповерхностных (менее 1 км).
- Каждый класс разделён на три подкласса: высокотемпературный (больше 300 °C), среднетемпературный (300-200 °C), низкотемпературный (меньше 200°C);
- **В.И. Смирнов на основе четырех признаков:** 1) связь с магматическими формациями, 2) состав руд, 3) физико-химические условия образования, 4) геолого-геохимические параметры выделил три класса: плутоногенный, вулканогенный, амагматогенный.
- **В.И. Старостин, П.А. Игнатов с учетом экспериментальных данных и теоретических расчетов предлагают классы:** 1) плутоногенный гранитоидный 2) вулканогенный андезитоидный, 3) вулканогенный базальтоидный.

1. Плутоногенный класс

1.1. Подкласс кварцевого парагенезиса: кварц-халькопиритовая, кварц-пирит-золоторудная, кварц-золоторудная формации

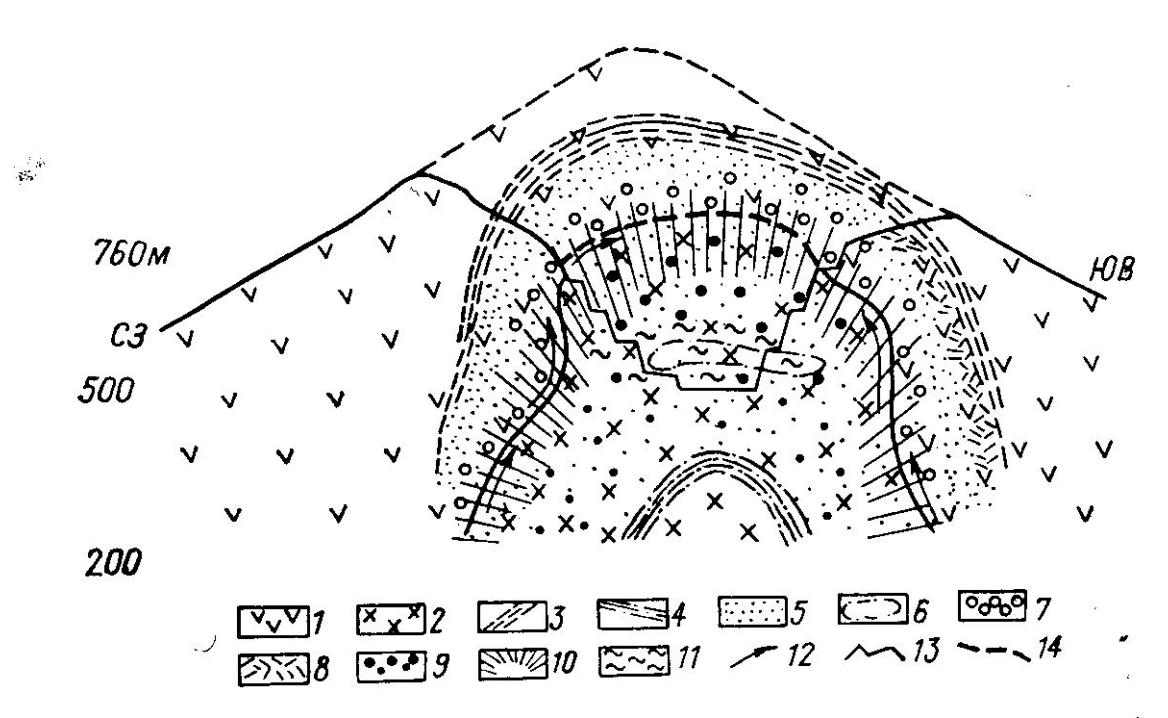


Рис. 80. Схематический геологический разрез месторождения Коунрад (ве масштаб разреза увеличен против горизонтального). По И. М. Юдину.

у — липаритовые порфиры; 2 — гранодиорит-порфиры; метасоматические породы: 3 — пропилиты и пропилитизированные, 4 — аргиллизированные, 5 — кварц-серицитовые, 6 — кварц-каолиновые, 7 — кварц-андалузитовые, 8 — диаспор-пирофилитовые; области преимущественного проявления первичного оруденения: 9 — медного (разной интенсивности), 10 — молибдено-мышьякового, 11 — галенито-сфалеритового; 12 — основное направление движения гидротермальных растворов; 13 — современный контур поверхности месторождения с карьером; 14 — предполагаемый контур штока гранодиорит-порфиров и горы Северный Коунрад до начала эрозии рудного тела.

кварц-молибденитовая формация

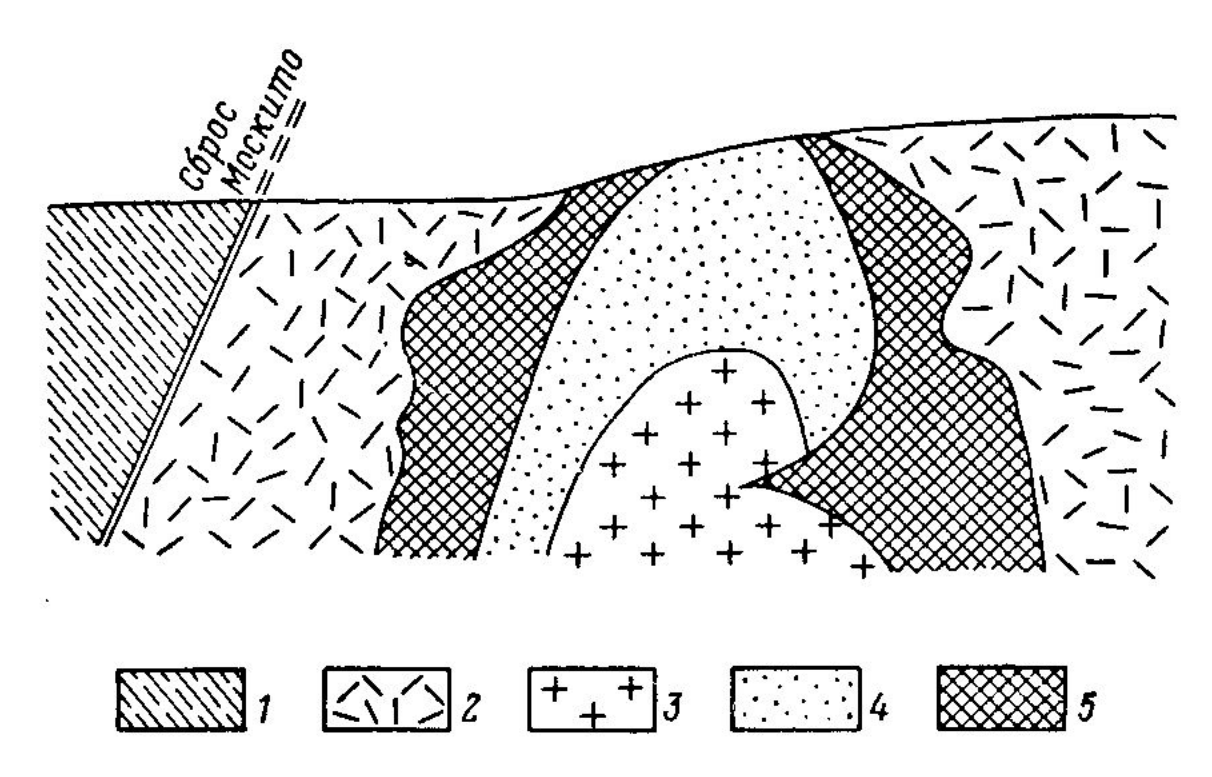


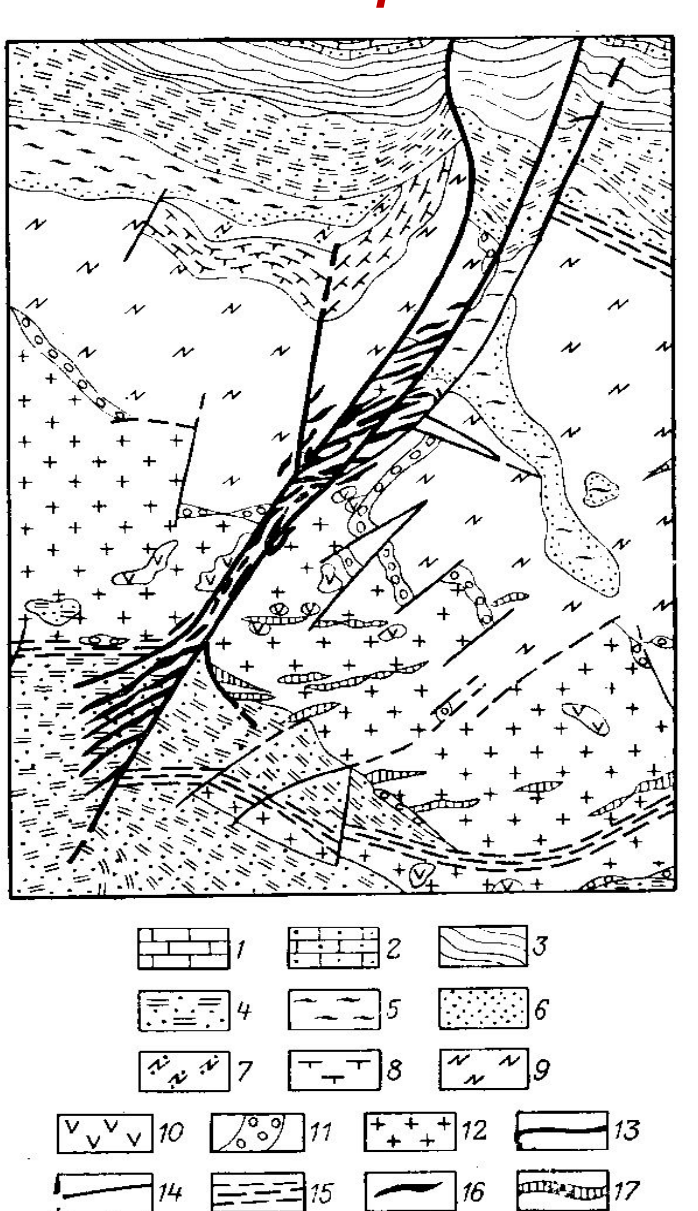
Рис. 150. Схематический геологический разрез месторождения Клаймакс. По Вандервильду

1 — осадочные породы карбона; 2 — граниты и гнейсы докембрия; 3 — третичные кварцевые монцопит-порфиры; 4 — безрудное кварцевое ядро; 5 — рудная зона

1.2 Подкласс сульфидного парагенезиса – галенит-сфалеритовая формация Садонское месторождение

Рис. 58. Схема геологического строения Садонского месторождения. По Э. Цириховой

1, 2-отложения келловея: 1-известняки, 2 --- известковые песчаники; 3 -- глинистые сланцы бата — байоса; 4 — песчано-глинистые сланцы, алевролиты, песчаники тоара и аалена; 5, 6 — отложения домера: 5 — глинистые сланцы, 6 — песчаники; 7-9 - отложения лейаса: 7 - туфопесчаники, 8 — агломераты, туфы, вулканическая брекчия, 9 — порфириты дацитового и диабазового состава; 10 - порфириты жильные; 11 - базальные конгломераты лейаса; 12 — граниты верхнего палеозоя; 13 — Главный Садонский рудоносный разлом; 14 — мелкие разломы; разломов общекавказского простирания; 16 — жилы полиметаллические; 17 — рудопроявления, приуроченные к системе субширотных трещинных структур



1.3. Подкласс карбонатного парагенезиса – сидеритовая (Бакальское), магнезитовая (Саткинское).

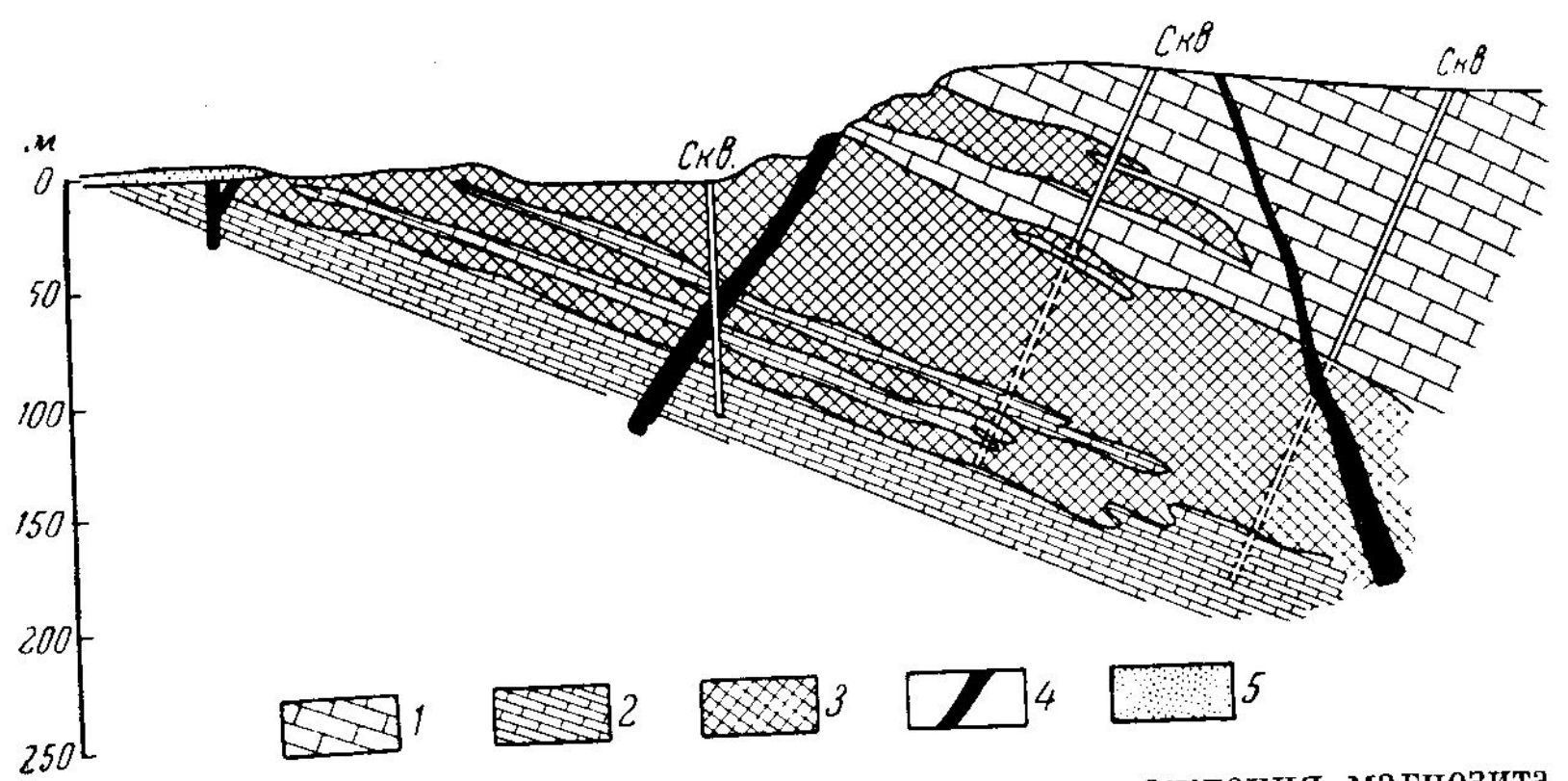


Рис. 155. Геологический разрез Саткинского месторождения магнезита. $\Pi o \ \Pi$. Tamapuнosy

1 — известняк; 2 — доломит; 3 — магнезит; 4 — дайки диабаза; 5 — современные отложения

2. Вулканогенный класс

Формирование МПИ связано с наземным вулканизмом. Концентрация вещества осуществляется из собственно гидротермальных растворов и в результате эксгаляций.

- **1.1. Эксгаляционный подкласс** (из газовой фазы) месторождения самородной серы.
- **1.2. Термальноводный подкласс** теплоэнергетическое сырье (термальные воды), бальнеологические воды.

1.3. Субвулканический подкласс.

В складчатых областях:

1) С андезитдацитовой формацией (характерна для Тихоокеанского пояса): касситеритовая, молибденитфлюоритуранинитовая, полиметаллическаязолото-серебряная с селеном, теллуром, киноварная рудные формации.

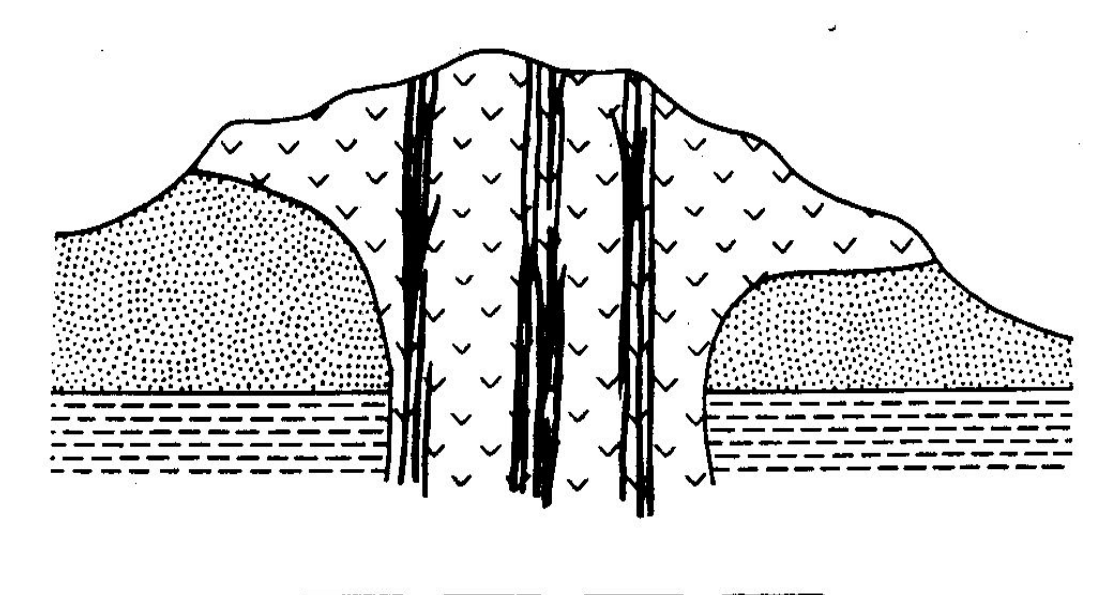




Рис. 161. Схематический геологический разрез золото-серебряного месторождения Нагиаг в Венгрии. По Иккею

1 — филлиты; 2 — отложения миоцена; 3 — дацит; 4 — рудные жилы

2) С щелочной формацией (фонолит) –МПИ золота с селеном, теллуром.

Месторождение Крипл Крик с системой радиально расходящихся жил, сложенных пиритом, марказитом, стибнитом, аргентитом в ассоциации с золотом, серебром и их теллуридами, реже селенидами, кварцем, халцедоном, адуляром, флюоритом и кальцитом.

На активизированных участках платформ:

3) С базальт-долеритовой формацией связаны МПИ самородной меди в эффузивах, исландского шпата.

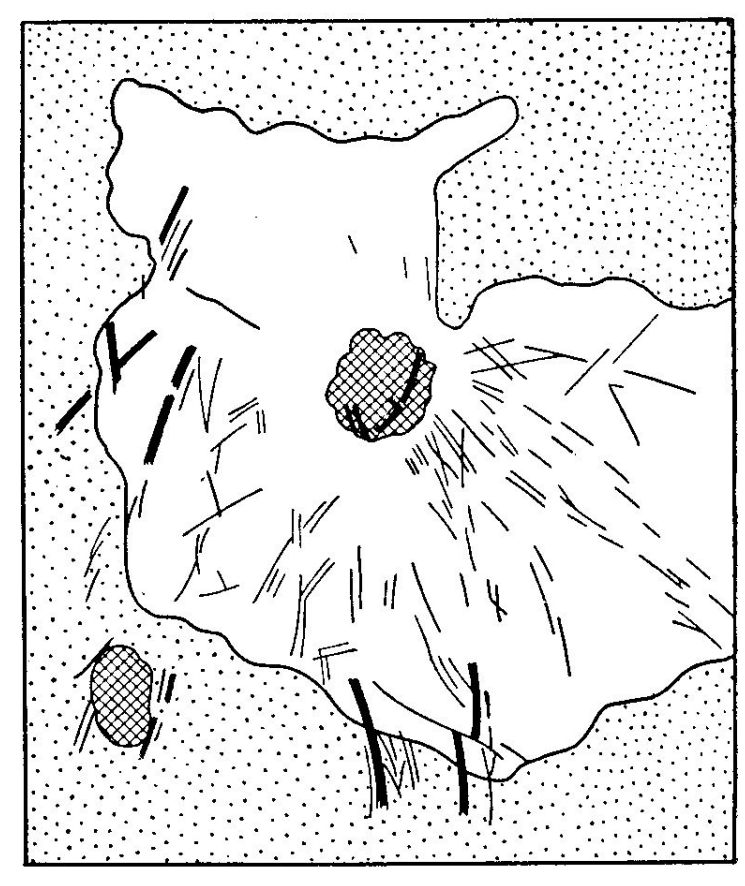




Рис. 162. Схема геологического строения месторождения Крипл Крик, в плане. Π В. Линдгрену

1 — древние граниты; 2 — лавовый покров; 3 – жерла вулканов; 4 — дайки; 5 — рудные жилы

3. Амагматогенный класс

3.1. Подкласс жильный

рудные тела залегают в форме жил и бывают окружены зонами окварцевания.

Рудные формации:

- антимонит-киноварная(Никитовка, Хайдаркан);
- флюоритовая;
- золоторудная в джаспероидах (Карлин).

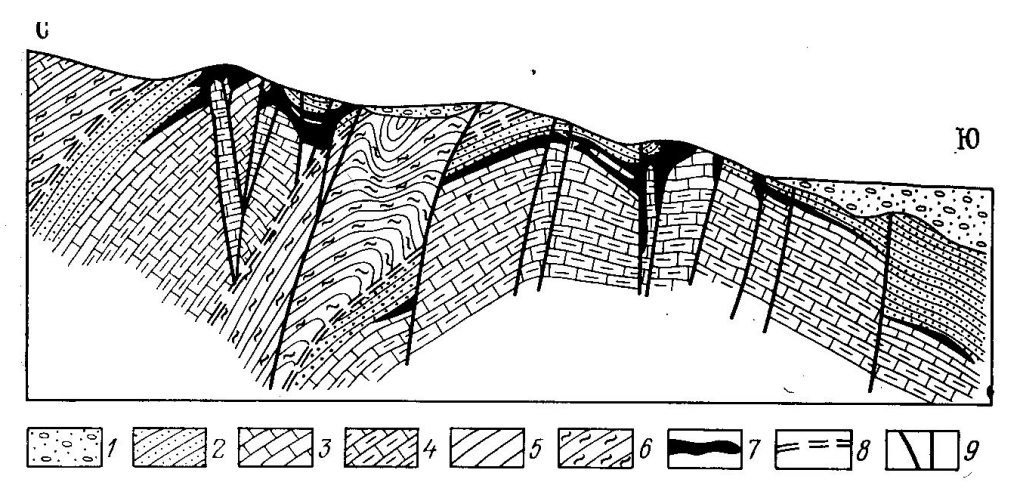


Рис. 94. Геологический разрез месторождения Хайдаркан. По Н. Никифорову. 1— четвертичные отложения; 2— песчаники, сланцы, конгломераты среднекаменноугольные; 3— известняки среднекаменноугольные; 4— известняки нижнекаменноугольные; 5— песчаники и сланцы нижнего девона; 6— сланцы и песчаники силура; 7— джаспероиды с киноварью; 8— надвиги; 9— сбрось, сбросо-сдвиги

3.2. Стратиформный подкласс – рудные тела залегают согласно с вмещающими породами.

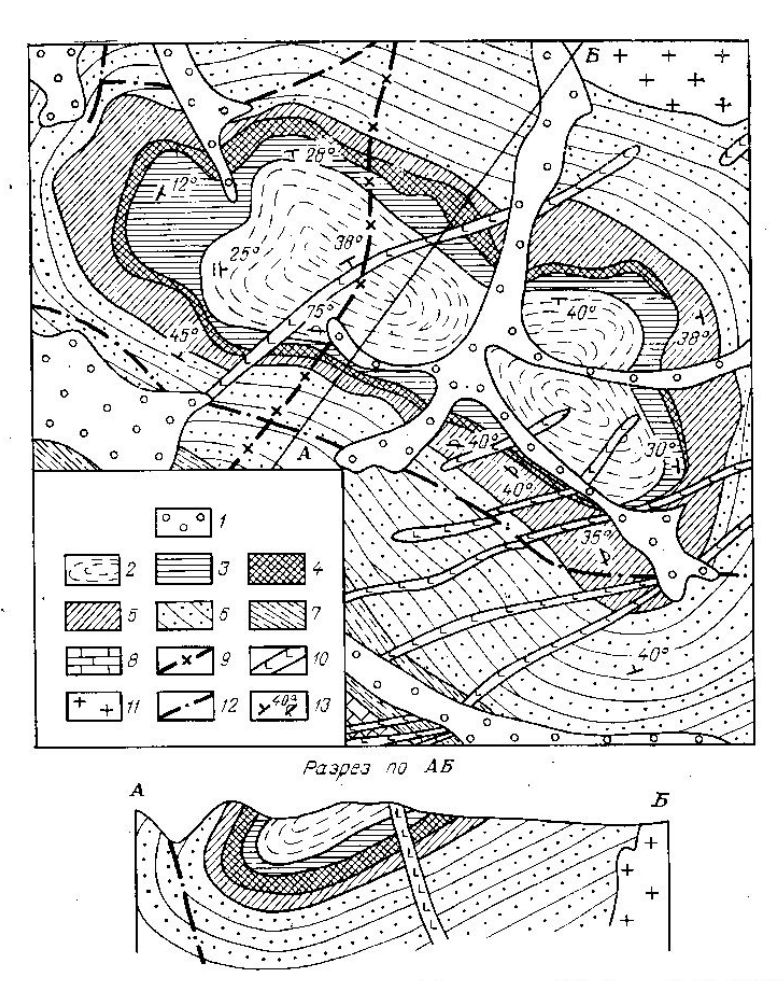


Рис. 65. Схематическая геологическая карта (a) и разрез (δ) Удоканского месторождения. По Э. Гринталю, В. Чечеткину и др.

1— четвертичные отложения; 2— намынинская свита— алевролиты, песчаники, аргиллиты; 3—5— верхняя подсвита сакуканской свиты: 3— издрудная пачка (известковистые и кварцитовидяме песчаники, алевролиты), 4— рудная пачка (известковистые и кварцитовидные песчаники, алевролиты), 5— подрудная пачка (кварцитовидные и известковистые и кварцитовидные песчаники, алевролиты, контломератобрекчии); 6— средияя подсвита сакуканской свиты— магнетитсодержащие песчаники, травелиты, тольтобрекчии; 6— средия подсвита сакуканской свиты— несчаники, филлитовидные сланцы, гравалиты, контломерато-брекчии; 3— бутунская синта— известняки, алевролиты; дайки: 9— граносиснит-порфира, 10— габбро-диабазов; 11— граниты чуйско-коларского комплекса; 12— разрывные нарушения; 13— элементы залетеляня

Рудные формации:

- борнит-халькозиновая в песчаниках (Джезказган-ское рудное поле, Удоканское);

- галенит-сфалеритовая (преимущественно в карбонатных породах).

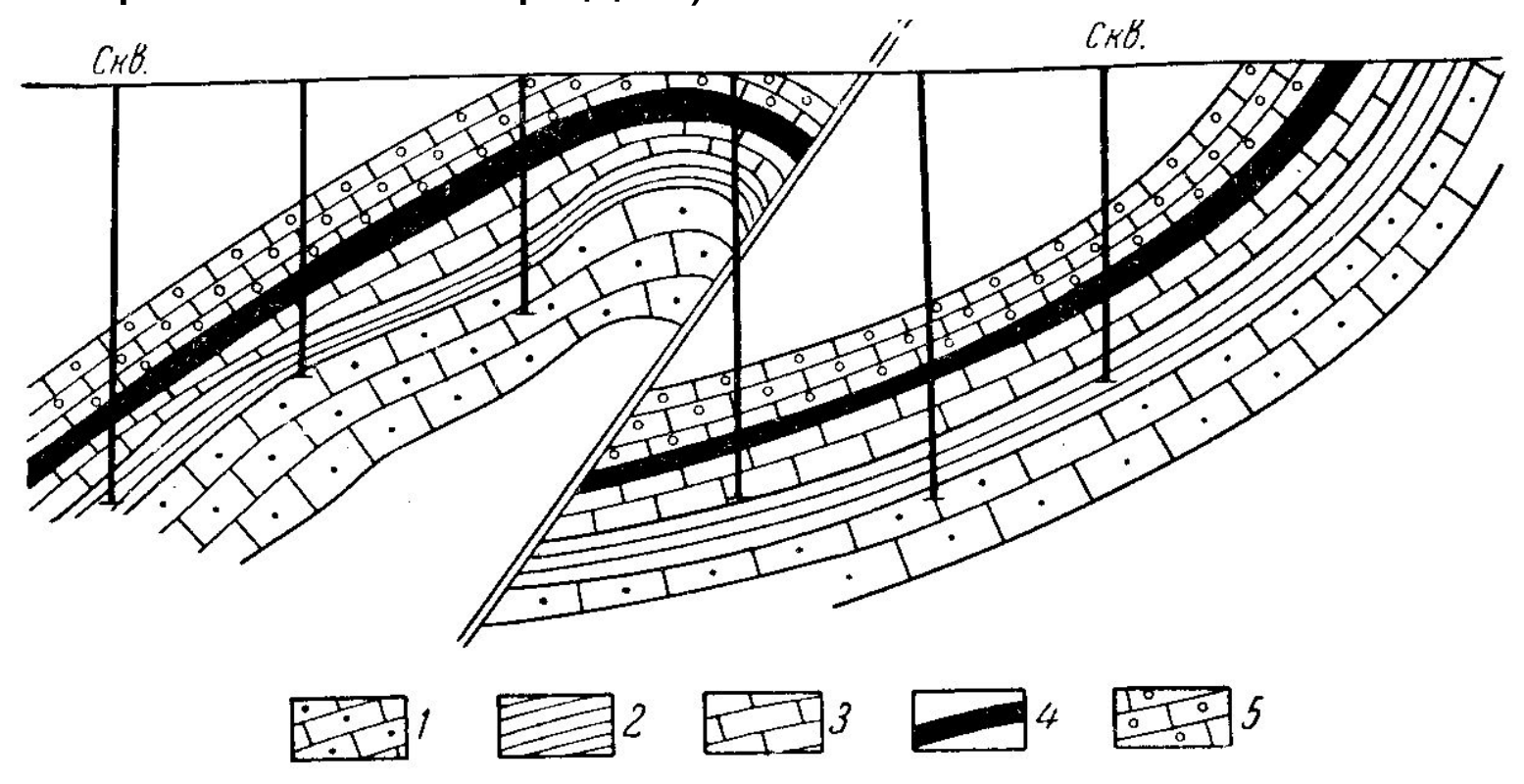


Рис. 157. Поперечный разрез телетермального месторождения свинцово-цинковых руд хр. Каратау в Казахстане

1 — известняки нижнего комковатого горизонта; 2 — известняки нижнего ленточного горизонта; 3 — известняки ячеистого горизонта; 4 — руда в известняках второго ленточного горизонта; 5 — известняки среднего комковатого горизонта

Условия образования МПИ плутоногенного и вулканогенного классов

Этапы образования МПИ:

- 1. Магматический сопровождается внедрением интрузии.
- 2. Пегматитовый (не всегда проявляется).
- 3. Альбитит-грейзеновый (не всегда проявляется).
- 4. Гидротермальный.
- 4.1. Источники воды и минеральных веществ:
- магматическая вода,
- метаморфическая вода,
- метеорная вода (поверхностные и подземные воды).
- 4.2. Термодинамические условия максимальное рудообразование при температуре 400-100⁰ С, давление 150-200 МПа.

- 4.3. Фазовое состояние воды гидротермальных растворов:
- жидкое до температуры 374° С (дистилированная вода) и 437° С (для минерализованных вод),
- парообразное при температуре выше 374° С и 437° С. Высокоминерализованные растворы могут отделяться от магматического очага в жидкой фазе, минуя парообразную.
- 4.4. Формы нахождения химических элементов:
- ионно-молекулярный раствор: простые ионы Na⁺, Cl⁻, комплексные ионы Na⁺[Sn(F,OH)₆]⁻
- коллоидные частицы, имеющие кратковременное существование.
- 4.5. Причины рудообразования наличие геохимических барьеров. Рудообразование происходит обычно на комплексе геохимических барьеров.

